

大阪市立大学工学部 ○ 正倉田 克彦
大阪市立大学名誉教授 正永井莊七郎

1. はじめに

石油掘削リグによって代表される海洋構造物に波浪が作用する場合、考へなければならない事項として、構造物の安全性に重大な影響をおよぼす波力あるいは構造物上における種々の作業の安全性と居住性、および作業船あるいは通船等の安全な航行ならびに碇泊に関する構造物周辺の波高あるいは静水面からの波頂高の分布などが挙げられる。海洋構造物に働く波力に関する研究および構造物周辺の波高あるいは波頂高の分布に関する研究は現在迄のところでは比較的数少ないようである。このため、まず海洋構造物のモデルとして最も簡単、単純な水底から直立した2本の円柱がその直径に比して比較的狭い間隔で並べられている場合について、それぞれの円柱周囲の波高分布を理論的に調べた結果を報告する。

2. 円柱周囲の波高分布

図-1に示すように、直径 $2a$ および $2b$ なる2本の水底から直立した円柱が、中心間隔として円柱の中心を結ぶ直線と波の進行方向との角度 β をなすようにして並んでいる場合について考える。静水面上、波の進行方向に x 軸あるいは z 軸を、円柱 0 あるいは $0'$ の鉛直中心軸と一致させ、 y 軸あるいは z' 軸と直角上向きに x 軸あるいは z' 軸をとる。水深 h は一様であつて、波長 L 、波高 H_0 なる入射波および2本の円柱のそれから生ずる散乱波は微小振幅波として取扱うことができるとする。2本の円柱間での波の反射は理論上は無限回繰返されるが、式の繁雑さ、計算の手数を考慮して、ここでは

- (1). 入射波
- (2). 入射波によって円柱 0 および円柱 $0'$ から生じる散乱波
- (3). 円柱 0 あるいは $0'$ からの散乱波を新しく円柱 0 あるいは円柱 $0'$ への入射波とした時に生じる散乱波

までを取扱うことにする。

微小振幅波理論によれば、波形 η は次式によつて求めることができる。

$$\eta = -\frac{1}{g} \left[\frac{\partial \phi}{\partial t} \right]_{z=0} \quad (1)$$

ここで、

ϕ : 波の速度ポテンシャル

g : 重力の加速度

t : 時刻

波の速度ポテンシャル ϕ は上記の(1)～(3)の波の速度ポテンシャルを加え合わせることによつて求まる。入射波の速度ポテンシャルは微小振幅波理論によつて容易に求まり、(2)あるいは(3)の散乱波の速度ポテンシャルは MacCamy and Fuchs, あるいは彼等の方法を拡張した大標の方法にならつて求めることができます。このようにして求めた速度ポテンシャルを式(1)に代入すれば、円柱 0 あるいは円柱 $0'$ の周りの波高の分布がそれぞれ次

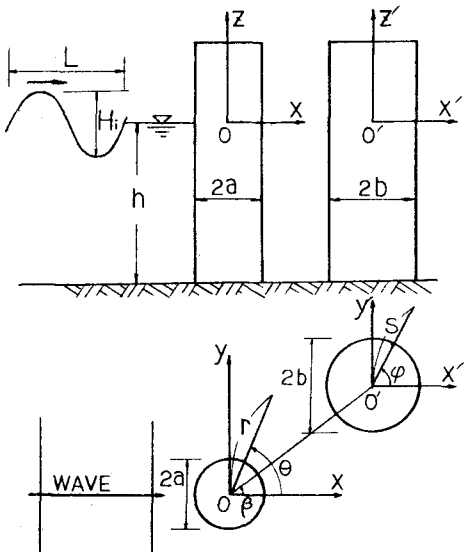


図-1 波浪中の2本の円柱

のように求まる。

円柱Oの周りの波高Hの分布に関しては、

$$H/H_i = \left| -\sum_{\lambda=-\infty}^{\infty} i^{\lambda} e^{i\lambda\phi} \left[J_{\lambda}(kr) - \frac{J'_{\lambda}(ka)}{H_{\lambda}^{(u)}(ka)} H_{\lambda}^{(u)}(kr) \right] + \sum_{\lambda=-\infty}^{\infty} \sum_{\mu=-\infty}^{\infty} (-i)^{\lambda} e^{i\lambda\phi} e^{-ikl\cos\phi} e^{i\mu(k-b)} \frac{J'_{\lambda}(kb)}{H_{\lambda}^{(u)}(kb)} H_{\lambda+\mu}^{(u)}(kl) \times \left[J_{\mu}(kr) - \frac{J'_{\mu}(ka)}{H_{\mu}^{(u)}(ka)} H_{\mu}^{(u)}(kr) \right] \right| \quad (2)$$

円柱O'の周りの波高H'の分布に関しては、

$$H'/H_i = \left| -\sum_{\lambda=-\infty}^{\infty} i^{\lambda} e^{i\lambda\phi} \left[J_{\lambda}(ks) - \frac{J'_{\lambda}(kb)}{H_{\lambda}^{(u)}(kb)} H_{\lambda}^{(u)}(ks) \right] + \sum_{\lambda=-\infty}^{\infty} \sum_{\mu=-\infty}^{\infty} i^{\lambda} e^{i\lambda\phi} e^{-ikl\cos\phi} e^{i\mu(k-b)} \frac{J'_{\lambda}(kb)}{H_{\lambda}^{(u)}(kb)} H_{\lambda+\mu}^{(u)}(ks) \times \left[J_{\mu}(ks) - \frac{J'_{\mu}(kb)}{H_{\mu}^{(u)}(kb)} H_{\mu}^{(u)}(ks) \right] \right| \quad (3)$$

ここで | · · · | は絶対値を表わす記号である。

式(2)および式(3)の第1項は円柱が1本だけの場合の波高分布を表わし、第2項は円柱が2本あるためにによって生じる散乱波・反射波の影響(円柱の相互干渉)を表わす。

3. 円柱周囲の波高分布に関する数値計算

図-2に示すように、 $a = b$ 、すなわち2本の円柱の直径が同じであって、2つの円柱が波の進行方向と直角あるいは平行な方向に並べられている場合について、円柱周囲の波高分布の数値計算をおこなった。

2本の円柱が波の進行方向と直角な方向に並べられた場合に

は、式(2)より円柱Oの周囲の波高分布は

$$H/H_i = \left| \sum_{\lambda=-\infty}^{\infty} -i^{\lambda} e^{i\lambda\phi} \left[J_{\lambda}(kr) - \frac{J'_{\lambda}(ka)}{H_{\lambda}^{(u)}(ka)} H_{\lambda}^{(u)}(kr) \right] + \sum_{\lambda=-\infty}^{\infty} \sum_{\mu=-\infty}^{\infty} i^{\lambda} e^{-i\lambda\phi} \frac{J'_{\lambda}(ka)}{H_{\lambda}^{(u)}(ka)} H_{\lambda+\mu}(kl) \cdot \left[J_{\mu}(kr) - \frac{J'_{\mu}(ka)}{H_{\mu}^{(u)}(ka)} H_{\mu}^{(u)}(kr) \right] \right| \quad (4)$$

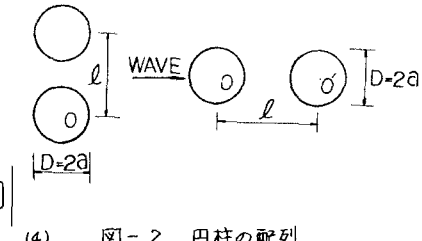


図-2 円柱の配列

となり、波の進行方向と平行な方向に2本の円柱が並べられた場合、円柱O(前方円柱)の周囲については、式(2)より

$$H/H_i = \left| \sum_{\lambda=-\infty}^{\infty} -i^{\lambda} e^{i\lambda\phi} \left[J_{\lambda}(kr) - \frac{J'_{\lambda}(ka)}{H_{\lambda}^{(u)}(ka)} H_{\lambda}^{(u)}(kr) \right] + \sum_{\lambda=-\infty}^{\infty} \sum_{\mu=-\infty}^{\infty} (-i)^{\lambda} e^{-i\lambda\phi} e^{-ikl} \frac{J'_{\lambda}(ka)}{H_{\lambda}^{(u)}(ka)} H_{\lambda+\mu}(kl) \cdot \left[J_{\mu}(kr) - \frac{J'_{\mu}(ka)}{H_{\mu}^{(u)}(ka)} H_{\mu}^{(u)}(kr) \right] \right| \quad (5)$$

円柱O'(後方円柱)の周囲については、式(3)より

$$H'/H_i = \left| \sum_{\lambda=-\infty}^{\infty} -i^{\lambda} e^{i\lambda\phi} \left[J_{\lambda}(ks) - \frac{J'_{\lambda}(kb)}{H_{\lambda}^{(u)}(kb)} H_{\lambda}^{(u)}(ks) \right] + \sum_{\lambda=-\infty}^{\infty} \sum_{\mu=-\infty}^{\infty} i^{\lambda} e^{-i\lambda\phi} e^{-ikl} \frac{J'_{\lambda}(kb)}{H_{\lambda}^{(u)}(kb)} H_{\lambda+\mu}(kl) \cdot \left[J_{\mu}(ks) - \frac{J'_{\mu}(kb)}{H_{\mu}^{(u)}(kb)} H_{\mu}^{(u)}(ks) \right] (-1)^{\mu} \right| \quad (6)$$

となる。式(4)～式(6)によつて波高分布を求めた結果の一例を次に示す。

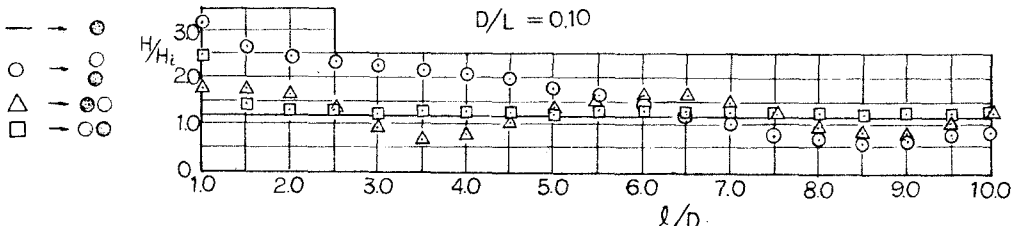


図-3 円柱周囲の波高分布 ($a = b$, $\theta = 180^\circ$, $\phi = 180^\circ$, $D/L = 0.10$)